

京都大学 正 小西一郎 住友重機械 正○山本 多雄

京都大学 正 白石成人 栗本鉄工所 正 伊藤 劍

京都大学 学 垂水 国博

1. まえがき

フリ橋の軽量化ならびに長大化の傾向の中で、従来の形式のフリ橋に対してその剛性の不足が指摘されており、これに対する新しい構造形式のフリ橋の一つとして、補剛構の剛性をケーブルの剛性で補つたデュアルタイプフリ橋が考えられる。本研究は、このデュアルタイプフリ橋を対象として有限変形理論を中心とした理論解析、および、模型の静的載荷実験、振動実験を行い、その2次元における力学的特性について検討を加えたものである。

2. 理論解析

有限変形理論による解析においては、任意形式ハンガーを有するデュアルタイプフリ橋を一種の骨組構造と考えて軸力部材における関係式を各節点間に適用し、デュアルタイプフリ橋の基本式を誘導した。メイソケーブル、補剛構、サブケーブルに対する添字を示すことで、m, t, s で表わし、各節点での運動方程式を立て、全体を行列表示すると、

$$\begin{pmatrix} m^x \\ m^y \\ m^z \\ m^t \\ m^s \\ m^s \end{pmatrix} \begin{pmatrix} \ddot{x}^m \\ \ddot{y}^m \\ \ddot{z}^m \\ \ddot{x}^t \\ \ddot{y}^t \\ \ddot{z}^s \end{pmatrix} + \begin{pmatrix} 0^m + \bar{A}^m & C^m + \bar{C}^m & -\alpha^m & -C^t & 0 & 0 \\ C^m + \bar{C}^m & B^m + \bar{B}^m & -\alpha^m & -B^t & 0 & 0 \\ -\alpha^{m*} & -\alpha^{t*} & \bar{A}^m + \bar{A}^s + F & \bar{C}^m + \bar{C}^s & -\alpha^{s*} & -C_t^{s*} \\ -C^{m*} & -B^{t*} & \bar{C}^m + \bar{C}^s & \bar{B}^m + \bar{B}^s + h & -C^{s*} & -B^{s*} \\ 0 & 0 & -\alpha^s & -C^s & A^s + \bar{A}^s & C^s + \bar{C}^s \\ 0 & 0 & -C_t^s & -B^s & C^s + \bar{C}^s & B^s + \bar{B}^s \end{pmatrix} \begin{pmatrix} x^m \\ y^m \\ z^m \\ x^t \\ y^t \\ z^s \end{pmatrix} = \begin{pmatrix} U_x^m \\ V_y^m \\ W_z^m \\ U_x^t \\ V_y^t \\ P + V_x^s + V_y^s \end{pmatrix}$$

ただし、* は転置行列を示す。

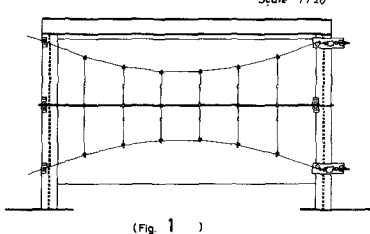
となる。静的な基礎フリ合方程式に対しては、上式の左辺の慣性力項を省略し、強制外力項を荷重項に置き換えるばよ。くわしくは、文献を参照されたい。なお、計算にあたっては、上式は非線形方程式となることから、一般の非線形問題の解法が適用されるが、動的計算においては非線形項は無視していい。

3. 模型実験

実験に用いた模型の概略図を Fig. 1 に示す。模型はスパン長 345 cm で高さは 160 cm を基準とし、ケーブルとして直徑 2 mm のピアノ線、補剛構として断面 1cm × 1cm の鋼棒を用い、ケーブル張力はロードセルを、ハンガー張力はコノ字型金具に貼付したストレインゲージ

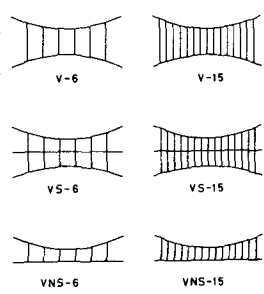
MODEL OF DUAL TYPED SUSPENSION BRIDGE

Scale 1/20



(Fig. 1)

EACH TYPE OF MODEL



(Fig. 2)

ンゲージを通して測定した。なお、静的載荷実験ではトランシットを通して各節点の相対変位を読み取り、振動実験では剛性の弱いバネにコノ字型金具を取り付けて小間に貼付したストレインゲージを通して振動波形を記録した。Fig.2に本実験で対象とした各タイプのうちおもなものを示す。

4. 結果ならびに考察

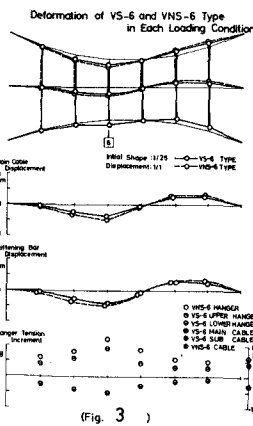
(1) 靜的存場合

Fig.3, 4 は模型実験の結果において従来の形式のフリ橋とデ・アルタイプフリ橋との比較をしたもので比較の基準としてデ・アルタイプフリ橋のサブケーブル張力に相当する重量を有する壁式補剛棒に付加したものと従来の形式のフリ橋としている。これによると、各節点変位、張力増分ともデ・アルタイプの方が多いくなっている。又、とくに偏心載荷のような変化量が大きく生じる場合に対してその抑制効果が發揮されたものと考えられる。

(2) 動的在場合

Table1, 2に振動実験ならびに数値計算の結果を示す。一般にデュアルタイプの方が従来のタイプに比べて固有周期が小さくなっていることがわかる。Fig.5にDS-6タイプの理論初期形状において有限変形法の適用により得られた一次の逆対称、対称の振動モードを示す。黒丸は実験値を示す。さらにTable3に自由減衰振動実験の結果を示す。この場合にもデュアルタイプの方が半数減衰率が大きくなっていることがわかる。しながら、両タイプの比較においては節点位置等の影響が考慮されることがから、ただちにデュアルタイプの方が減衰性が優れているとは断定はできないと思われる。

全体としてデュアルタイプフリ橋の特性に関して、剛性の増大、それに伴なう変形の抑制効果ならびに振動減衰性の向上がではないかと考えらるゆえんが、今後さらに実橋との相似律に観点を必要があると思ゆる。左本、掲載できなかつたものは、当参考文献：後藤茂夫 有限変形法による吊橋の解法 土木学会



Result of Dynamic Experiment and Analysis

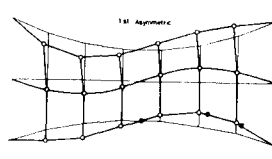
1st Asymmetric Mode				NATURAL FREQUENCY (CYCLES/SEC)			
	NATURAL PERIOD (sec)	EXPERIMENTAL		NATURAL FREQUENCY (CYCLES/SEC)		EXPERIMENTAL	
		FORCED VIBRATION	FREQUENCY	FORCED VIBRATION	FREQUENCY	FORCED VIBRATION	FREQUENCY
Y - 8 (L=100)	0.363	0.384	0.328	3.820	2.767	3.077	3.048
	0.329	0.375	0.312	3.034	2.564	3.051	3.021
V5 - 6 (L=180)	0.270	0.274	0.219	3.701	3.649	4.369	4.285
	—	—	0.261	—	—	3.936	3.936

VNS - 6	0.335	0.335	0.350	2.983	2.983	3.445
VS - 15	0.312	0.316	0.325	3.205	3.162	3.674
VNS - 15	0.428	0.426	0.387	2.336	2.348	2.786

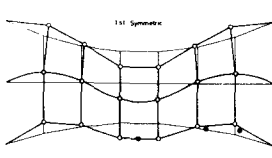
(Table 1)

1st Symmetric		NATURAL FREQUENCY [Hz]	
	NATURAL PERIOD [sec]	EXPERIMENTAL	CALCULATED
Forced Free Vibration			
F = 0.238	0.238	0.238	0.238
V-5 - 1000	0.234	0.260	0.238
V-5 - 1500	0.234	0.260	0.238
V-6 - 1000	0.264	0.272	0.261
V-6 - 1500	0.264	0.272	0.261
V-5 - 6	0.157	0.157	0.121
V-6 - 6	0.157	0.156	0.136
V-6 - 10	0.176	0.170	0.149
V-5 - 15	0.182	0.181	0.153
VNS-15	0.231	0.232	0.187

(Table 2)



VS-6



(Fig. 5)

Experimental Results of Damping in Free Vibration

Logarithmic Decrement of Each Model						
	V - 6 (L=100)	V - 6 (L=100)	VS - 6	VNS - 6	VNS - 15	
1st Symmetric Mode	0.0112	0.0136	0.0228	0.0184	0.0231	0.0181
1st Asymmetric Mode	0.0133	0.0102	0.0175	0.0118	0.0400	0.0176

(T+H)- 3